

# Mikrotalasna tehnika

## Zapreminske rezonatori

B. Lutovac

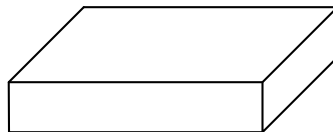
Elektrotehnički fakultet

Decembar 2021. godine



# Zapreminska rezonatori

- Niže učestanosti - koriste se oscilatorna kola sa koncentrisanim parametrima  $L$  i  $C$ .
- U mikrotalasnom dijapazonu teško je realizovati takva kola (zbog veoma malih vrijednosti za  $L$  i  $C$ ). Zbog toga se u mikrotalasnoj tehnici koriste **zapreminska rezonatori** (ili rezonantne šupljine). To su oscilatorna kola sa raspodijeljenim parametrima.
- Mogu biti proizvoljnog oblika, ali se najčešće izvode kao odsječci mikrotalasnih vodova. Prema tome da li su potupno metalizovani ili ne, razlikujemo **zatvorene** i **otvorene** rezonatore.
- Zatvoreni rezonatori su najčešće izvedeni kao odsječci metalnih talasovoda koji su pregrađeni (metalizovani) na krajevima. Koriste se u dijapazonu santimentarskih i milimetarskih talasa. Na slici su prikazani pravougaoni a), kružni b) i koaksijalni rezonator c).



a)



b)

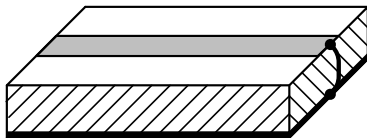


c)

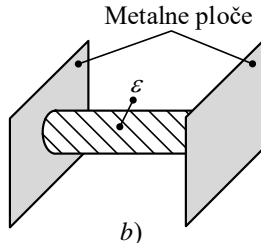


# Otvoreni rezonator na bazi trakastog voda

- Na slici a) je prikazan otvoren rezonator realizovan na bazi mikrotrakastog voda, dok slika b) prikazuje otvoren talasovod realizovan na bazi dielektričnog talasovoda.



a)



b)

- Zapreminske rezonatori imaju beskonačno mnogo rezonantnih učestalosti. Takođe, zbog veoma malih gubitaka imaju velike vrijednosti sopstvenog faktora dobrote, teorijski do  $\sim 10^5$  (za oscilatorna LC kola reda  $\sim 10^2$ ).
- Zapreminske rezonatori imaju veliku primjenu u mikrotalasnoj tehnici. Najvažnije su:
  - ① primjena u mikrotalasnim filterima
  - ② primjena kod mikrotalasnih oscilatora i pojačavača
  - ③ za mjerjenje učestanosti



- Razlikujemo dvije vrste oscilacija u zapreminskim rezonatorima:
  - ① Slobodne.
  - ② Prinudne.
- **Slobodne oscilacije** su oscilacije koje mogu da postoje u odsustvu izvora.
- To su, ustvari, moguća rješenja Maksvelovih jednačina za dati rezonator.
- Pošto u svakom rezonatoru postoje gubici, ove oscilacije se brzo prigušuju.
- **Prinudne oscilacije** nastaju u rezonatoru pod dejstvom spoljašnjeg izvora koji kompenzuje gubitke u rezonatoru.
- Da bi se u rezonatoru pobudile prinudne oscilacije potrebno je da učestanost izvora bude jednaka ili vrlo bliska jedanoj od rezonantnih učestanosti rezonatora.



# Slobodne oscilacije cilindričnog rezonatora bez gubitaka

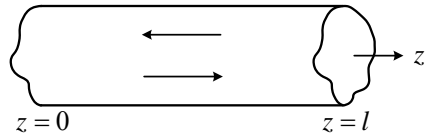
Posmatrajmo odsječak proizvoljnog metalnog talasovoda kroz koji se prostire određeni tip talasa. Ukupna transverzalna komponenta električnog polja u talasovodu je zbir direktnog i reflektovanog talasa.

$$\vec{E}_{\perp} = \vec{E}_{0\perp}^+ e^{-j\beta z} + \vec{E}_{0\perp}^- e^{+j\beta z}$$

- Prepostavimo da smo talasovod pregradili (metalizovali) na mjestima  $z = 0$  i  $z = l$ .
- Tada mora biti zadovoljen granični uslov  $\vec{E}_{\perp} = 0$  za  $z = 0$  i za  $z = l$ .
- Zadovoljenje prvog uslova daje  $\vec{E}_{0\perp}^- = -\vec{E}_{0\perp}^+$  tj.

$$\vec{E}_{\perp} = -2j\vec{E}_{0\perp}^+ \sin \beta z \equiv \vec{E}_{0\perp} \sin \beta z$$

- Prisustvo faktora  $\sin \beta z$  ukazuje da polje u talasovodu ima karakter čistog stojecog talasa.



- Zadovoljenje drugog uslova ( $\vec{E}_{\perp} = 0$  za  $z = l$ ) daje  $\beta l = p\pi$  odakle dobijamo
- $$\beta = \frac{p\pi}{l}$$
- $p$  je cijeli broj
  - S druge strane, za svaki talasovod važi  $k_{\perp}^2 = k^2 + \gamma^2 = k^2 + (j\beta)^2 = k^2 - \beta^2$ , odakle je

$$k^2 \equiv \omega^2 \epsilon \mu = k_{\perp}^2 + \beta^2 = k_{\perp}^2 + \left(\frac{p\pi}{l}\right)^2$$

# Slobodne oscilacije cilindričnog rezonatora bez gubitaka...

- Iz zadnje relacije dobijamo rezonante učestanosti rezonatora

$$\omega \equiv \omega_0 = \frac{1}{\sqrt{\epsilon\mu}} \sqrt{k_{\perp}^2 + \left(\frac{p\pi}{l}\right)^2}.$$

- Ima ih beskonačno mnogo i zavise od tri cjelobrojna indeksa jer transverzalni talasni broj  $k_{\perp}$  zavisi od dva cjelobrojna indeksa  $m$  i  $n$ .
- Svakom izboru  $m$ ,  $n$  i  $p$  odgovara jedna rezonantna učestanost, a njoj dva tipa oscilacija  $\text{TE}_{mnp}$  i  $\text{TM}_{mnp}$ .
- Možemo definisati i rezonantnu talasnu dužinu

$$\lambda \equiv \lambda_0 = \frac{\nu}{f_0} = \frac{\frac{1}{\sqrt{\epsilon\mu}}}{\frac{\omega_0}{2\pi}} = \frac{2\pi}{\sqrt{k_{\perp}^2 + \left(\frac{p\pi}{l}\right)^2}} = \frac{1}{\sqrt{\left(\frac{1}{\lambda_{\text{kr}}}\right)^2 + \left(\frac{p}{2l}\right)^2}}$$

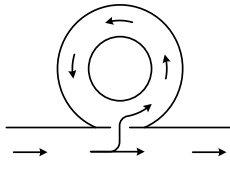
- Dužina rezonatora može imati samo određene diskrete vrijednosti.
- Naime, iz relacije  $\beta = (p\pi)/l = (2\pi)/\Lambda$  dobijamo vrijednost za dužinu rezonatora  $l = p\Lambda/2$ , gdje je  $p = 0, 1, 2, 3, \dots$  tj. dužina rezonatora za  $p \neq 0$  mora biti jednakom broju polovina talasnih dužina u talasovodu.

# Slobodne oscilacije cilindričnog rezonatora bez gubitaka...

- Najčešće, uzimamo  $p = 1$  odnosno, najmanju dužinu. Razmotrimo sada slučaj kada je  $p = 0$ . U tom slučaju je  $\vec{E}_\perp = 0$  tj. talas u talasovodu ima samo longitudinalnu komponentu električnog polja (talas TM tipa).
- Rezonantne učestanosti za ovakav tip oscilacija ( $TM_{mno}$ ) računaju se prema relaciji

$$\omega_0 = \frac{k_\perp}{\sqrt{\epsilon\mu}} = \frac{2\pi\nu}{\lambda_{kr}} = 2\pi f_{kr} = \omega_{kr}$$

- Ove učestanosti su jednake kritičnim učestanostima za talase TM tipa. Pošto je za  $p = 0$ ,  $\lambda = \lambda_{kr}$ , slijedi da je  $\Lambda = \lambda / \sqrt{1 - (\lambda/\lambda_{kr})^2} = \infty$ . U tom slučaju, dužina rezonatora  $l = p\Lambda/2$  je jednaka  $0 \cdot \infty$  što znači da može imati proizvoljnu vrijednost.
- Elektromagnetsko polje u cilindričnom rezonatoru ima oblik čisto stoećeg talasa. Međutim, moguće je realizovati i rezonator sa progresivnim talasom.
- Talasovod je preko otvora elektromagnetski spregnut sa talasovodom savijenim u krug čija je dužina jednaka cijelobrojnom umnožku talasne dužine na rezonansi ( $\Lambda \equiv \Lambda_0$ ).



- Talas iz osnovnog talasovoda prelazi jednim dijelom u savijeni talasovod a zatim se stalno superponira u fazi na otvoru za spregu. Na račun toga amplituda talasa u savijenom talasovodu se povećava do velike vrijednosti (ograničene)

# Neka svojstva cilindričnih rezonatora bez gubitaka

## ① Ukupna energija u rezonatoru ima konstantnu vrijednost.

**Dokaz:** Posmatrajući izraz kojim je definisana Pointigova teorema

$$P_g = P_j + \frac{dW}{dt} + \oint_S (\vec{E} \times \vec{H}) d\vec{S}$$

i znajući da nema izvora ( $P_g = 0$ ), gubitaka ( $P_j = 0$ ) i razmjene energije sa okolnom sredinom (jer je rezonator metalizovan)  $\oint_S (\vec{E} \times \vec{H}) d\vec{S} = 0$ , dobijamo

$$\frac{dW}{dt} = 0 \Rightarrow W = \text{const}$$

Isto svojstvo važi i za  $LC$  oscilatorno kolo.

## ② Ukupna energija jednaka je maksimalnoj vrijednosti električne energije ili maksimalnoj vrijednosti magnetske energije.

Električno i magnetsko polje u rezonatoru pomjereni vremenski za  $\pi/2$  tj. četvrtinu periode.

Pošto je energija konstantna možemo je izračunati u trenucima kada je  $\vec{E} = 0$ , tada je  $\vec{H} = \vec{H}_{\max}$ . S druge strane, ako energiju izračunamo u trenucima kada je  $\vec{H} = 0$  tada je  $\vec{E} = \vec{E}_{\max}$  dobijamo

$$W = W_{e_{\max}}$$

# Slobodne oscilacije u cilindričnim rezonatorima pri postojanju gubitaka. Sopstveni faktor dobrote

- Uzmimo prvo da postoje gubici samo u sredini koja ispunjava rezonator. To možemo formalno uzeti u obzir preko kompleksne dielektrične konstante

$$\underline{\epsilon} = \epsilon - j \frac{\sigma}{\omega} = \sqrt{\epsilon^2 + \left(\frac{\sigma}{\omega}\right)^2} e^{-j \arctg\left(\frac{\sigma}{\omega\epsilon}\right)}$$

- Pošto je specifična provodnost  $\sigma$  veoma mala ( $\sigma/\omega \ll \epsilon$ ) možemo pisati

$$\underline{\epsilon} = \epsilon e^{-j\left(\frac{\sigma}{\omega\epsilon}\right)} = \epsilon e^{-j\tg\delta}$$

gdje je  $\tg\delta = \sigma/\omega\epsilon$  tangens ugla gubitaka. Sada je i rezonantna učestanost formalno kompleksna veličina

$$\underline{\omega} = \frac{1}{\sqrt{\epsilon\mu}} \sqrt{k_{\perp}^2 + \left(\frac{p\pi}{l}\right)^2} = \frac{1}{\sqrt{\epsilon\mu}} \sqrt{k_{\perp}^2 + \left(\frac{p\pi}{l}\right)^2} e^{j\tg\delta/2} = \omega' + j\omega''$$

# Slobodne oscilacije u cilindričnim rezonatorima pri postojanju gubitaka. Sopstveni faktor dobrote...

- Realni i imaginarni dio kompleksne rezonantne učestanosti su

$$\omega' = \frac{1}{\sqrt{\varepsilon\mu}} \sqrt{k_{\perp}^2 + \left(\frac{p\pi}{l}\right)^2} \cos\left(\frac{\operatorname{tg}\delta}{2}\right) \approx \frac{1}{\sqrt{\varepsilon\mu}} \sqrt{k_{\perp}^2 + \left(\frac{p\pi}{l}\right)^2} \equiv \omega_0,$$

$$\omega'' = \frac{1}{\sqrt{\varepsilon\mu}} \sqrt{k_{\perp}^2 + \left(\frac{p\pi}{l}\right)^2} \sin\left(\frac{\operatorname{tg}\delta}{2}\right) \approx \frac{1}{\sqrt{\varepsilon\mu}} \sqrt{k_{\perp}^2 + \left(\frac{p\pi}{l}\right)^2} \cdot \frac{\operatorname{tg}\delta}{2} \equiv \omega_0 \frac{\operatorname{tg}\delta}{2}$$

gde je  $\omega_0$  rezonantna učestanost za slučaj kada nema gubitaka. Dakle,

$$\underline{\omega} = \omega' + j\omega'' \approx \omega_0 \left(1 + j\frac{\operatorname{tg}\delta}{2}\right).$$

Šta fizički znači kompleksnost rezonantne učestanosti? Faktor  $e^{j\omega t}$  koji se javlja u svim komponentama polja je

$$e^{j\omega t} = e^{j(\omega' + j\omega'')t} = e^{-\omega''t} e^{j\omega' t}$$

što znači da polja eksponencijalno slabe (sa vremenskom konstantom  $T'' = 1/\omega'' \approx 2/(\omega_0 \operatorname{tg}\delta)$ ).



# Slobodne oscilacije u cilindričnim rezonatorima pri postojanju gubitaka. Sopstveni faktor dobrote...

- Na primjer

$$E_x(t) = E_x(0)e^{-\omega''t}$$

i slično za ostale komponente električnog i magnetskog polja. Pošto je energija proporcionalna kvadratu polja, zakon promjene energije biće

$$W(t) = W(0)e^{-2\omega''t}$$

Primjenimo na rezonator Pointingovu teoremu

$$P_g = P_{jd} + \frac{dW}{dt} + \oint_S (\vec{\mathbf{E}} \times \vec{\mathbf{H}}) \cdot d\vec{\mathbf{S}}$$

- S obzirom da je  $P_g = 0$  i  $\oint_S (\vec{\mathbf{E}} \times \vec{\mathbf{H}}) \cdot d\vec{\mathbf{S}} = 0$ , slijedi

$$P_{jd} = -\frac{dW}{dt} = W(0)2\omega''e^{-2\omega''t} = 2\omega''W$$

- Definišemo: **sopstveni faktor dobrote rezonatora usled gubitaka u dielektriku ( $Q_{0d}$ )**

$$Q_{0d} = \frac{\omega' W}{P_{jd}} \approx \frac{\omega_0 W}{P_{jd}}$$

# Slobodne oscilacije u cilindričnim rezonatorima pri postojanju gubitaka. Sopstveni faktor dobrote...

- Pošto je  $P_{jd} = 2\omega'' W \approx 2\omega_0 (\operatorname{tg}\delta/2) W = \omega_0 \operatorname{tg}\delta W$  dobijamo:  $Q_{0d} = \frac{1}{\operatorname{tg}\delta}$
- Ako pored gubitaka u dielektriku postoje i gubici u provodniku rezonatora definisaćemo **sopstveni faktor dobrote rezonatora** ( $Q_0$ )

$$Q_0 = \frac{\omega' W}{\sum P_j} = \frac{\omega' W}{P_{jd} + P_{jp}}$$

- Recipročna vrijednost ovog faktora je jednaka

$$\frac{1}{Q_0} = \frac{1}{\frac{\omega' W}{P_{jd}}} + \frac{1}{\frac{\omega' W}{P_{jp}}} = \frac{1}{Q_{0d}} + \frac{1}{Q_{0p}} \quad (1)$$

gdje smo sa  $Q_{0p}$  označili sopstveni faktor dobrote usled gubitaka u provodnicima rezonatora.

- Pošto je (na osnovu Pointingove teoreme)  $P_{jd} + P_{jp} = \sum P_j = 2 \omega'' W$  imamo da je:  $Q_0 = \frac{\omega'}{2\omega''}$  pa kompleksnu rezonantnu učestanost možemo zapisati

$$\underline{\omega} = \omega' + j\omega'' = \omega' \left( 1 + j \frac{\omega''}{\omega'} \right) = \omega' \left( 1 + j \frac{1}{2Q_0} \right) \approx \omega_0 \left( 1 + j \frac{1}{2Q_0} \right)$$

- Komponente polja imaće faktor  $e^{-\omega'' t} = e^{-(\omega'/2Q_0)t} \approx e^{-(\omega_0/2Q_0)t}$  a energija  $e^{-(\omega_0/Q_0)t}$ .



# Sopstveni faktor dobrote usled gubitaka u provodnicima

- Relacija za izračunavanje sopstvenog faktora dobrote  $Q_{0p}$  usled gubitaka u provodnicima

$$Q_{0p} = \frac{\omega' W}{P_{jp}} \approx \frac{\omega_0 W}{P_{jp}} = \frac{\omega_0 \mu}{R_s} \frac{\int_V |\vec{H}|^2 dV}{\int_S |\vec{H}_{tg}|^2 dS}$$

gdje su  $R_s$  i  $d$  površinska otpornost i dubina prodiranja.

- Pošto je

$$\frac{\omega_0 \mu}{R_s} = \frac{\omega_0 \mu}{\frac{1}{\sigma_p d}} = \frac{\omega_0 \mu \sigma_p d^2}{d} = \frac{\omega_0 \mu \sigma_p}{d} \cdot \frac{2}{\mu_p \sigma_p \omega_0} = \frac{2}{d} \frac{\mu}{\mu_p}$$

izraz za  $Q_{0p}$  može se pisati i u obliku

$$Q_{0p} = \frac{2}{d} \frac{\mu}{\mu_p} \frac{\int_V |\vec{H}|^2 dV}{\int_S |\vec{H}_{tg}|^2 dS}$$

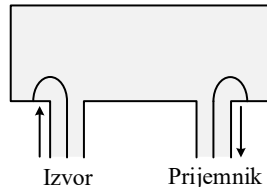
- Obično su permeabilnosti dielektrika  $\mu$  i provodnika  $\mu_p$  jednake permeabilnosti vakuma, pa je

$$Q_{0p} = \frac{2}{d} \frac{\int_V |\vec{H}|^2 dV}{\int_S |\vec{H}_{tg}|^2 dS}$$



# Sopstveni faktor dobrote usled gubitaka u provodnicima...

- Kod metalnih rezonatora preovlađuju gubici u provodnicima ( $P_{jp} \gg P_{jd}$ ) pa je  $Q_{0p} \ll Q_{0d}$ . Shodno tome, iz relacije (1) dobijamo da je  $Q_0 \approx Q_{0p}$
- Sopstveni faktor dobrote  $Q_0$  naziva se još i faktor dobrote neopterećenog rezonatora, jer je rezonator izolovan od spoljašnje sredine.
- Međutim, u praksi to nije slučaj. Da bi se oscilacije održale neprigušenim potrebno je u rezonator dovoditi energiju od nekog izvora. Osim toga, energija iz rezonatora se najčešće izvlači i vodi u neki prijemnik (slika desno).
- U ovom slučaju govorimo o opterećenom rezonatoru.
- Ukupni gubici sastoje od gubitaka u rezonatoru (dielektriku i provodnicima)



i gubitaka u spoljašnjim kolima (izvora i prijemnika).

- Sada možemo definisati  **$Q$  - faktor dobrote opterećenog rezonatora**, koji, za razliku od  $Q_0$ , ima praktičan značaj:

$$Q = \frac{\omega' W}{P_{jp}} = \frac{\omega' W}{P_{jd} + P_{jp} + P_{sp}}$$

odakle slijedi da je:  $\frac{1}{Q} = \frac{1}{Q_0} + \frac{1}{Q_{sp}}$   
gdje je  $Q_{sp} = \omega' W / P_{sp}$  tzv. **spoljašnji faktor dobrote**. Iz posljednje relacije slijedi da je  $Q < Q_0$ .

# Tipovi rezonatora. Pravougaoni rezonator

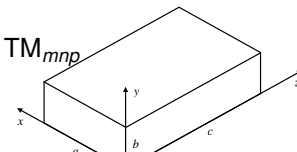
- Rezonantne učestanosti su:

$$\omega \equiv \omega_0 = \frac{1}{\sqrt{\epsilon\mu}} \sqrt{k_{\perp}^2 + \left(\frac{p\pi}{c}\right)^2} = \frac{1}{\sqrt{\epsilon\mu}} \sqrt{\left(\frac{m\pi}{a}\right)^2 + \left(\frac{n\pi}{b}\right)^2 + \left(\frac{p\pi}{c}\right)^2}$$

- Rezonantne talasne dužine

$$\lambda \equiv \lambda_0 = 2 \sqrt{\left(\frac{m\pi}{a}\right)^2 + \left(\frac{n\pi}{b}\right)^2 + \left(\frac{p\pi}{c}\right)^2}$$

- Odgovarajući tipovi oscilacija su  $\text{TE}_{mnp}$  ( $m, n = 0, 1, 2, \dots$ ;  $m = n = 0$  se isključuje,  $p = 1, 2, \dots$ ) i  $\text{TM}_{mnp}$  ( $m, n = 1, 2, 3, \dots$ ;  $p = 0, 1, 2, \dots$ ).
- Osnovni tip oscilacija je onaj sa najmanjom rezonantnom učestanošću, odnosno, sa najvećom rezonantnom talasnom dužinom.  
Ako je  $y$  – osa usmjerena duž najmanje stranice ( $b < a, b < c$ ), najveća vrijednost za  $\lambda_0$  dobija se ako se uzme  $m = 1, n = 0, p = 1$ .



$$\lambda_0 = \frac{2}{\sqrt{\left(\frac{1}{a}\right)^2 + \left(\frac{1}{c}\right)^2}}$$

Rezonantna talasna dužina osnovnog tipa oscilacija istog reda veličine kao i dimenzije rezonatora.

## Primjer 1.

Odrediti sopstveni faktor dobrote  $Q_0$  pravougaonog rezonatora sa osnovnim tipom oscilacija  $\text{TE}_{101}$ . Dimenzije rezonatora su  $a$ ,  $b$  i  $c$ , dielektrik je vazduh, a provodnik ima parametre  $\mu_0$  i  $\gamma$ .

### Rješenje

Potrebno je odrediti magnetsko polje u rezonatoru za tip  $\text{TE}_{101}$ . Ovaj tip osilacija nastaje kada se u pravougaonom talasovodu sa talasom  $\text{TE}_{10}$  pregrade krajevi  $z = 0$  i  $z = c$ . Električno polje u talasovodu je

$$E \equiv E_y = -E_0^+ \sin \frac{\pi x}{a} e^{-j\beta z} + \left( -E_0^- \sin \frac{\pi x}{a} e^{+j\beta z} \right)$$

Gračni uslovi su  $E = 0$  za  $z = 0$  i  $z = c$ , pa dobijamo (uzimajući  $p = 1$ )

$$E \equiv E_y = 2jE_0^+ \sin \frac{\pi x}{a} \sin \frac{\pi z}{c} \equiv E_0 \sin \frac{\pi x}{a} \sin \frac{\pi z}{c}$$

Magnetsko polje je

$$\vec{H} = -\frac{1}{j\omega_0 \mu_0} \text{rot} \vec{E} = j \frac{E_0 \lambda_0}{Z_0} \frac{1}{2} \left( -\frac{1}{c} \sin \frac{\pi x}{a} \cos \frac{\pi z}{c} \vec{i}_x + \frac{1}{a} \cos \frac{\pi x}{a} \sin \frac{\pi z}{c} \vec{i}_z \right)$$

## Primjer 1...

### Rješenje

- U prethodnoj relaciji je  $Z_0 = \sqrt{\mu_0/\epsilon_0} = 120\pi$ .
- $\lambda_0$  se računa prema relaciji:

$$\lambda_0 = \frac{2}{\sqrt{\left(\frac{1}{a}\right)^2 + \left(\frac{1}{c}\right)^2}}$$

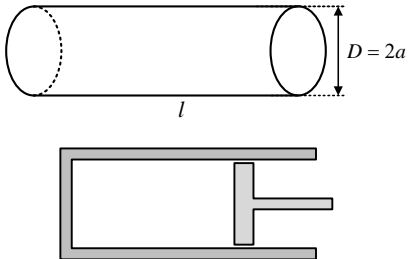
- Nalaženjem integrala u relaciji za  $Q_{0p}$  dobijamo

$$Q_0 = \frac{1}{d} \frac{abc(a^2 + c^2)}{ac(a^2 + c^2) + 2b(a^3 + b^3)}$$

- Na primjer, za  $a = 4\text{ cm}$ ,  $b = 2\text{ cm}$ ,  $c = 5\text{ cm}$ ,  $\sigma = 57 \cdot 10^6 \text{ S/m}$  dobijamo ( $\omega_0 = 3.02 \cdot 10^{10} \text{ Hz}$ ,  $d = 0.96 \cdot 10^{-6} \text{ m}$ )  $Q_0 \approx 10.840$ .
- Posmatrajući gornju relaciju za izračunavanje  $Q_0$  zaključujemo, da se povećanjem svih dimenzija  $k$  puta, sopstveni faktor dobrote povećava  $\sqrt{k}$  puta.

# Kružni talasovod

- Kružni rezonator je prikazan na slici desno.
- Kada je  $(D/I)^2 < 0.97$  ( $I > 2.03a$ ) osnovni tip oscilacija je  $\text{TE}_{111}$ , a kada važi obrnuta nejednakost, osnovni tip je  $\text{TM}_{010}$ .
- Najznačajniji tip oscilacija je  $\text{TE}_{011}$  koji ima veoma male gubitke, te prema tome veliku vrijednost sopstvenog faktora dobrote ( $Q_0 \sim 10^5$ ).
- Ovaj tip oscilacija ima komponente polja  $E_\phi$ ,  $H_r$  i  $H_z$ , dok površinska gustina struje  $J_s$  ima samo kružnu  $\phi$  – komponentu.
- Pri praktičnom korišćenju ovog tipa oscilacija javlja se problem eliminisanja tipa  $\text{TM}_{111}$  koji ima istu rezonantnu učestanost.



- Ovo se može postići ako se napravi uzan procjep između kružnog dijela rezonatora i jednog od pregradnih zidova (druga slika).
- Takav procjep ne utiče na oscilovanje tipa  $\text{TE}_{011}$  (jer ne presijeca linije površinske gustine struje), ali prigušuje tip  $\text{TM}_{111}$ . Pregradni zid je pokretan, čime se lako mijenja dužina rezonatora a samim tim i rezonantna učestanost.



# Koaksijalni rezonator

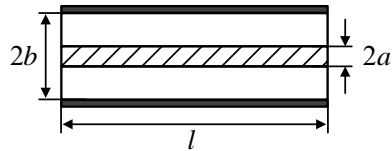
- Izgled rezonatora je prikazan na slici desno.
- Razmotrimo samo oscilacije TEM tipa. Pošto je za koaksijalni kabl  $k_{\perp} = 0$ , rezonantne učestanosti su

$$\omega_0 = \frac{1}{\sqrt{\epsilon\mu}} \sqrt{k_{\perp}^2 + \left(\frac{p\pi}{l}\right)^2} = \frac{1}{\sqrt{\epsilon\mu}} \frac{p\pi}{l}, \quad p=1,2,3,\dots$$

- Odgovarajući tip oscilacija je  $\text{TEM}_p$ . Rezonantna talasna dužina je  $\lambda_0 = 2l/p$ . Osnovni tip oscilacija je  $\text{TEM}_1$  sa rezonatnom talasnom dužinom  $\lambda_0 = 2l$ . Komponente polja osnovnog tipa se dobijaju iz relacije:

$$E \equiv E_r = \frac{A}{r} e^{-j\beta z} + \frac{B}{r} e^{+j\beta z}$$

i graničnih uslova  $E = 0$  za  $z = 0$  i  $z = l$ .



- Dobija se (uzimajući  $p = 1$ )

$$E \equiv E_r = \frac{E_0}{r} \sin \frac{\pi z}{l}$$

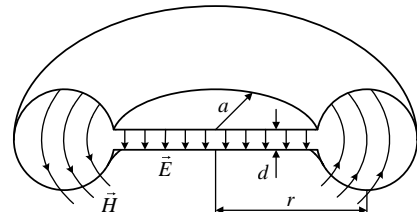
- Dok je

$$H \equiv H_{\phi} = j \frac{E_0}{Z_0 r} \cos \frac{\pi z}{l}$$



# Kvazistacionarni rezonatori

- Kod prethodnih rezonatora rezonantna talasna dužina (za osnovni tip oscilacija) je istog reda veličine kao i dimenzije rezonatora.
- Električno i magnetsko polje u rezonatoru nijesu prostorno razdvojeni.
- Postoje rezonatori kod kojih je rezonantna talasna dužina mnogo veća od dimenzija rezonatora i kod kojih su električno i magnetsko polje praktično prostorno razdvojeni.
- Bliski oscilatornim kolima sa koncentrisanim parametrima, i rezonantna učestanost im se može izračunati približno po formuli  $\omega_0 = 1/\sqrt{LC}$ .
- Ovi rezonatori se nazivaju **kvazistacionarnim**.



- Tipičan primjer kvazistacionarnog rezonatora je tzv. **torusni rezonator** (prikazana samo polovina).
- Električno polje je koncentrisano u procjepu između ploča, koje igraju ulogu kapacitivnosti, dok je magnetsko polje koncentrisano u torusnom dijelu, koji na taj način igra ulogu induktivnosti. Talasna dužina:

$$\lambda_0 = \pi a \sqrt{\frac{2}{d} \int_s \frac{dS}{r}}$$



## Primjer 2.

Za torusni kvazistacionarni rezonator pravougaonog presjeka (slika desno) odrediti rezonantnu učestanost. Sredina je vazduh.

Rješenje:

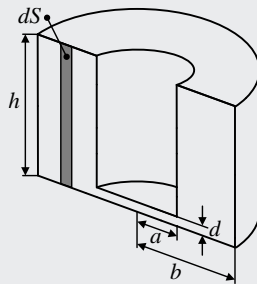
Za torusni kvazistacionarni rezonator prikazan na slici rezonantna učestanost je jednaka

$$\omega_0 = \frac{1}{\sqrt{\epsilon_0 \mu_0}} \frac{1}{a} \sqrt{\frac{2d}{\int_S \frac{ds}{r}}} = \frac{1}{\sqrt{\epsilon_0 \mu_0}} \frac{1}{a} \sqrt{\frac{2d}{\int_a^b \frac{hdr}{r}}} = \frac{1}{\sqrt{\epsilon_0 \mu_0}} \frac{1}{a} \sqrt{\frac{2d}{h \ln \frac{b}{a}}}$$

- Rezonantna talasna dužina

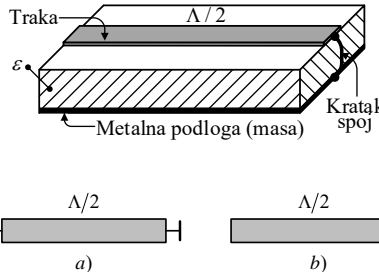
$$\lambda_0 = \pi a \sqrt{\frac{2h \ln \frac{b}{a}}{d}}$$

- Na primjer, za  $a = 1 \text{ cm}$ ,  $b = 2 \text{ cm}$ ,  $h = 5 \text{ cm}$  i  $d = 1 \text{ mm}$  dobija se  $\lambda_0 \approx 26 \text{ cm}$ . Torusni rezonator se koristi kod klistrona – jedne vrste mikrotalasnog oscilatora ili pojačavača.



# Trakasti rezonatori

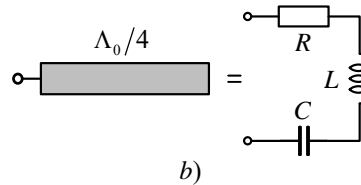
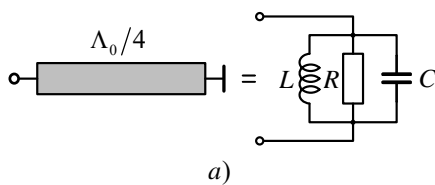
- Trakasti rezonatori se dobijaju kao odsječci mikrotalasnog ili trakastog voda dužine  $\Lambda/2$  (najmanja vrijednost).
- Na slici desno je prikazan izgled trakastog rezonatora na bazi mikrotrakastog voda.
- Traka dužine  $\Lambda/2$  (gdje je  $\Lambda \equiv \Lambda_0$  talasna dužina na rezonansi), je na oba kraja kratko spojena na „masu”.
- Da je kao osnova uzet trakasti vod onda bi na strukturu sa slike gore desno, sa gornje strane postavili još jedan sloj dielektrika i preko njega još jednu metalnu podlogu spojenu sa donjom.
- Kada su u pitanju trakaste strukture, uobičajeno je da se crta samo traka, pa se rezonator sa gornje slike predstavlja kao što to pokazuje slika a).



- Na slici se vidi i uobičajena oznaka za kratki spoj (sa „masom”).
- Kod trakastog voda se prostire talas TEM tipa, a kod mikrotrakastog voda je to približno ispunjeno, kratki spojevi se mogu ukloniti jer se u pogledu refleksije, kratak spoj na kraju voda i otvoren kraj voda jednako ponašaju ( $|\rho| = 1$ ).

# Trakasti rezonatori...

- Još jedna vrsta trakastog rezonatora zasniva se na sledećem svojstvu: Kratkospojen (otvoren) vod sa gubicima i TEM talasom u okolini učestanosti  $\omega_0$ , za koju je njegova dužina jednak četvrtini talasne dužine ( $\Lambda_0/4$ ) ponaša se u okolini te učestanosti kao paralelno (redno) oscilatorno kolo, čija je rezonantna učestanost  $\omega_0$ .
- Na osnovu ovog svojstva (čiji je dokaz dat u sledećem primjeru) imamo dva trakasta rezonatora pokazana na slici a) i b).
- Ako vod nema gubitaka, onda je i odgovarajuće oscilatorno kolo bez gubitaka.



## Primjer 3

Pokazati da se kratko spojen vod bez gubitaka u okolini učestanosti  $\omega_0$  za koju je njegova dužina jednaka  $\Lambda_0/4$  ponaša kao paralelo oscilatorno kolo bez gubitaka, rezonantne učestanosti  $\omega_0$ .

### Rješenje:

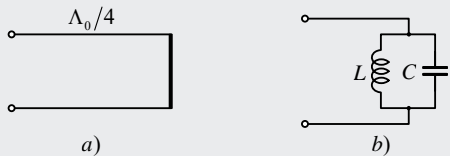
Treba da pokažemo da su u okolini  $\omega_0$  ulazne admitanse kola na slici a) i b) identične kao funkcije od  $\omega$ . Za kolo na slici a), normalizovana ulazna admitansa je  $\hat{Y} = -j\text{ctg}\beta l$  (gdje je  $l = \Lambda_0/4$ ).

- Pošto je uslov da se  $\omega$  nalazi u okolini  $\omega_0$ , možemo pisati  $\omega = \omega_0 + \Delta\omega$ , gdje je  $\Delta\omega$  malo. Isto važi i za faznu konstantu  $\beta = \beta_0 + \Delta\beta$  ( $\Delta\beta$  malo). Dalje

$$\beta_0 = \frac{\omega_0}{v_\phi}$$

$$\beta = \frac{\omega}{v_\phi}$$

$$\Delta\beta = \frac{\Delta\omega}{v_\phi} = \frac{\Delta\omega}{\omega_0} \beta_0$$



- $v_\phi$  je fazna brzina koja je za vod TEM talasom nezavisna od učestanosti i jednaka brzini slobodnog prostiranja  $v = 1/\sqrt{\epsilon\mu}$ .
- Sada za normalizovanu ulaznu admitansu možemo pisati:

## Primjer 3...

Rješenje:

$$\hat{Y} = -j \operatorname{ctg} \left( \beta_0 + \frac{\Delta\omega}{\omega_0} \beta_0 \right) \frac{\Lambda_0}{4} = -j \operatorname{ctg} \left( \frac{\pi}{2} + \frac{\pi \Delta\omega}{2 \omega_0} \right) = j \operatorname{tg} \left( \frac{\pi \Delta\omega}{2 \omega_0} \right) \quad (2)$$

Koristeći izraz da je  $\operatorname{tg} x \approx x$  ako je  $x$  malo relacija (2) postaje:  $\hat{Y} \approx j \frac{\pi}{2} \frac{\Delta\omega}{\omega_0} = j \frac{\pi}{2} \frac{\omega - \omega_0}{\omega_0}$   
Za kolo prikazano na slici b) ulazna admitansa je

$$Y = \frac{1}{j\omega L} + j\omega C = \frac{1 - \omega^2 LC}{j\omega L} = \frac{1 - \frac{\omega^2}{\omega_0^2}}{j\omega L} = j \frac{(\omega - \omega_0)(\omega + \omega_0)}{\omega \omega_0^2 L} \quad (3)$$

gdje je  $\omega_0 = 1/\sqrt{LC}$ . Pošto se  $\omega$  nalazi u okolini  $\omega_0$  onda važi da je  $\omega + \omega_0 \approx 2\omega$  i  $\Delta\omega = \omega - \omega_0$  pa relacija (3) postaje:  $Y \approx j2C\Delta\omega = j2C(\omega - \omega_0)$  ili  $\hat{Y} = \frac{Y}{Y_c} = j \frac{2C}{Y_c} \Delta\omega = j \frac{2C}{Y_c} (\omega - \omega_0)$   
Ako uporedimo relacije za ulazne admitanse i njihovim izjednačavanjem:

$$C = \frac{\pi Y_c}{4\omega_0}, \quad L = \frac{1}{\omega_0^2 C} = \frac{4}{\pi \omega_0 Y_c}$$

## Primjer 4.

Pokazati da se struktura sa slike a), gdje su dužine  $l_1$  i  $l_2$  male ( $l_1, l_2 < \Lambda/20$ ) ponaša kao redno oscilatorno kolo vezano paralelno na osnovni vod. Širina trake voda dužine  $l_1$  je mnogo manja od širine trake voda dužine  $l_2$ , pa je stoga  $Z'_c \gg Z''_c$ .

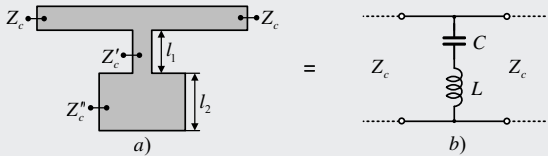
### Rješenje:

Da bi pokazali ekvivalenciju struktura sa slike a) i b), nađimo i uporedimo ulaznu impedansu dva redno vezana voda dužine  $l_1$  i  $l_2$  (slika a)) (pri čemu je vod dužine  $l_2$  otvoren) i redne veze  $L$  i  $C$  (slika b)).

- Ulazna impedansa otvorenog voda dužine  $l_2$  sa slike a) (koja je impedansa prijemnika za vod dužine  $l_1$ ) je

$$Z'' = -j Z''_c \operatorname{ctg} \beta l_2 = -j \frac{Z''_c}{\operatorname{tg} \beta l_2} \equiv Z_p$$

- Ulazna impedansa redne veze vodova na slici a) jednaka je:



$$Z = Z'_c \frac{-j \frac{Z''_c}{\operatorname{tg} \beta l_2} + j Z'_c \operatorname{tg} \beta l_1}{Z'_c + j \left( -j \frac{Z''_c}{\operatorname{tg} \beta l_2} \right) \operatorname{tg} \beta l_1} \approx Z'_c \frac{j \left( Z'_c \beta l_1 - \frac{Z''_c}{\beta l_2} \right)}{Z'_c + \left( \frac{Z''_c}{\beta l_2} \right) \beta l_1}$$

## Primjer 4...

### Rješenje

Pošto je  $Z_c'' \ll Z_c'$ , a  $l_1$  i  $l_2$  veličine istog reda, može se u imeniocu zanemariti drugi član, gornja relacija postaje:

$$Z \approx j \left( Z_c' \beta l_1 - \frac{Z_c''}{\beta l_2} \right)$$

Zamjenom vrijednosti za  $\beta = \omega/v_\phi = \omega/v$  imamo

$$Z \approx j \left( \frac{Z_c' l_1}{v} \omega - \frac{Z_c'' v}{l_2 \omega} \right)$$

što se u zavisnosti od učestanosti ponaša kao redna veza  $L$  i  $C$  (slika b))

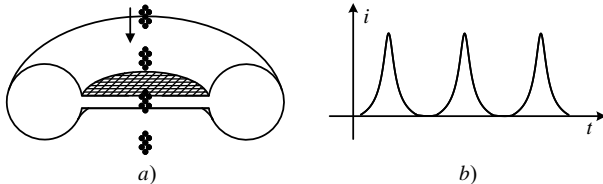
$$Z = j \left( \omega L - \frac{1}{\omega C} \right)$$

sa odgovarajućim vrijednostima za  $L$  i  $C$ . Iz ekvivalentne šeme sa slike b) je očigledno da struktura sa slike a) predstavlja prost primjer filtra nepropusnika opsega.

# Pobuđivanje rezonatora

Pobuđivanje rezonatora može da se vrši pomoću:

- ① sonde
  - ② petlje
  - ③ proreza
  - ④ gustinski modulisanog elektronskog mlaza (kod kvazistacionarnih rezonatora)
- Prva tri načina primjenjuju se pod istim uslovima kao kod talasovoda. Pri tome treba da bude ispunjen dopunski uslov da **učestanost generatora mora da bude jednaka ili veoma bliska rezontantnoj učesatnosti tipa oscilacija koji pobudujemo.**
  - Pobuđivanje torusnog rezonatora pomoću gustinski modulisanog mlaza prikazano je na slici a).

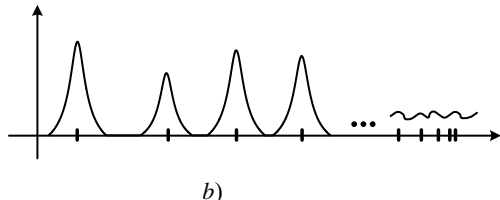
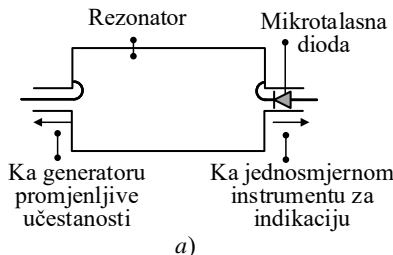


- Gustinska modulacija znači da su elektroni grupisani u grupe (pakete), koje se kreću određenom brzinom kroz procjep rezonatora.
- Ploče su urađene u obliku fine guste rešetke. Faktički, u procjepu imamo vremenski promjenjivu struju u obliku serije impulsa, koji se ponavljaju sa određenom učestanošću (slika b)).
- Ta učestanost treba da bude jednaka ili veoma bliska rezontantnoj učesatnosti rezonatora.



# Pobuđivanje rezonatora...

- Kada govorimo o pobuđivanju rezonatora, radi se o prinudnim oscilacijama.
- Rezonantna karakteristika rezonatora može se snimiti kao na slici a). Pokazivanje jednosmjernog instrumenta za indikaciju prikazano je na slici b).
- U okolini prvih nekoliko rezonantnih učestanosti (koje su dovoljno udaljene jedna od druge) imamo karakteristične, uske rezonantne krive (kao za oscilatorno kolo sa koncentrisanim parametrima, gdje postoji samo jedna takva kriva).
- Povećanjem učestanosti, rezonantne učestanosti se zблиžavaju, pa se rezonantne krive međusobno spajaju i rezonantna karakteristika poprima neregularan oblik.
- Možemo reći da se u okolini svake od nekoliko prvih rezonantnih učestanosti rezonator ponaša kao oscilatorno kolo sa koncentrisanim parametrima i može se njime ekvivalentirati.

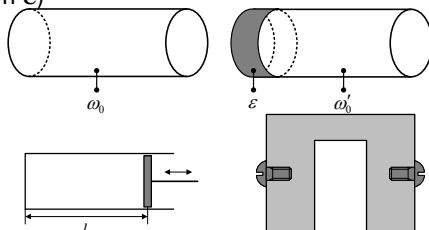


# Promjena rezonantne učestanosti rezonatora

Promjena rezonantne učestanosti rezonatora može se vršiti

- ① promjenom parametara sredine (najčešće promjenim  $\epsilon$ )
- ② promjenom dimenzija ili oblika rezonatora

- Prvi način se često primjenjuje za mjerjenje dielektrične konstante (slika desno gore).
- Izračuna se, ili se izmjeri, rezonantna učestanost rezonatora  $\omega_0$  kada je dielektrik vazduh. Zatim se u rezonator unese dielektrik određenog (prostog) oblika i malih dimenzija, pa se izmjeri nova rezonantna učestanost  $\omega'_0$ . Ako je unešeni dielektrik malih dimenzija i prostog oblika, moguće je teorijski doći do formule za promjenu rezonantne učestanosti  $\omega'_0 - \omega_0$  (u funkciji dielektrične konstante  $\epsilon$ ), pa se zatim taj izraz iskoristi za nalaženje  $\epsilon$ .

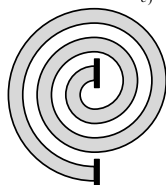
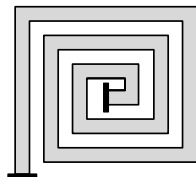
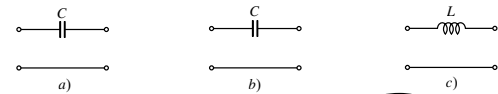
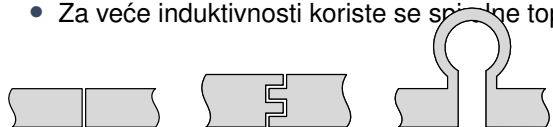


- Primjer <sup>a)</sup> za promjenu rezonantne <sup>b)</sup> učestanosti talasa tipa TE<sub>011</sub> kod kružnog rezonatora pokazan je na slici a).
- Promjenom položaja klipa mijenja se dužina rezonatora a samim tim i rezonantna učestanost.
- Promjena oblika rezonatora koristi se za promjenu rezonantne učestanosti kvazistacionarnih rezonatora.

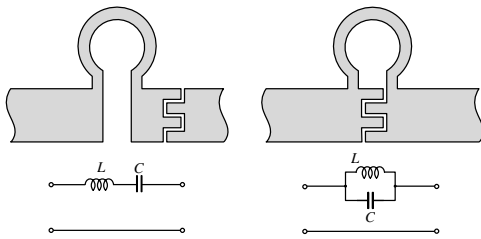


# Rezonatori sa koncentrisanim parametrima

- Na vrlo visokim učestanostima nije jednostavno realizovati oscilatorna kola (rezonatore) sa koncentrisanim parametrima jer su potrebne vrijednosti za  $L$  i  $C$  veoma male. Međutim, razvojem tehnologije i to je postalo moguće.
- Najjednostavnija realizacija koncentrisane kapacitivnosti je u vidu uskog procjepa napravljenog u traci mikrotrakaškog voda (slika a)). Radi povećanja kapacitivnosti, procjep se izvodi kao na slici b). Najjednostavnija realizacija induktivnosti je pokazana na slici c).
- Za veće induktivnosti koriste se specijalne topologije.



Na slici su prikazana dva oscilatorna kola sa koncentrisanim parametrima.



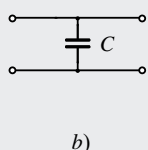
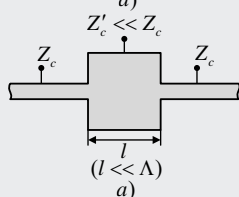
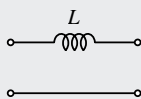
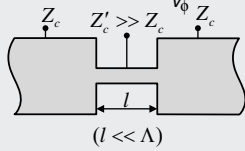
## Primjer 5.

Dokazati da se znatno suženje trake mikrotrakastog ili trakastog voda na manjoj dužini ( $l \ll \Lambda$ ) ponaša kao redno vezana induktivnost.

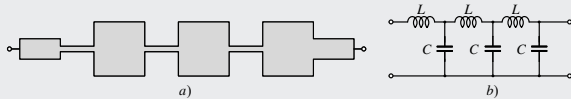
Rješenje:

Dovoljno je uporediti parametar  $S_{11}$  za šeme na slici a) i b). Za šemu sa slike a). Upoređujući relacije vidimo da su isti po obliku (kao funkcije  $\omega$ ) pa imamo:  $\frac{\omega L}{Z_c} = \frac{\omega l}{v_\phi n^2}$  odakle nalazimo

$$\text{induktivnost } L = \frac{l Z'_c}{v_\phi}$$

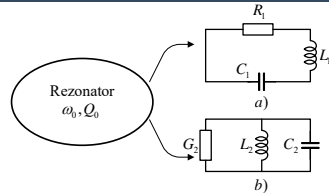


Na slici je pokazan filter niskih učestanosti koji koristi induktivnosti i kapacitivnosti koje su prikazane na slikama lijevo.



# Rezonator kao elemenat mikrotalasnih kola i njegove ekvivalentne šeme

- Rezonator možemo predstaviti ekvivalentnom šemom u obliku rednog ili paralelnog oscilatornog kola, pri čemu je potrebno odrediti parametre tih kola.
- Posmatrajmo prvo neopterećeni rezonator (sa slobodnim oscilacijama).
- Neka je  $\omega_0$  rezonantna učestanost posmatranog tipa oscilacija, a  $Q_0$  njegov sopstveni faktor dobrote.
- Uslovi: rezonantne učestanosti ekvivalentnih kola jednake rezonantnoj učestanosti rezonatora, i da su sopstveni faktori dobrote ekvivalentnih kola jednake sopstvenom faktoru dobrote rezonatora.
- Dobijamo po dvije jednačine za određivanje parametara ekvivalentnih kola.



- Redno oscilatorno kolo  
$$\omega_0 = \frac{1}{\sqrt{L_1 C_1}}, \quad Q_0 = \frac{\omega_0 L_1}{R_1}$$
- Paralelno oscilatorno kolo:  
$$\omega_0 = \frac{1}{\sqrt{L_2 C_2}}, \quad Q_0 = \frac{\omega_0 C_2}{G_2}$$

Rezonator se najčešće nalazi:

- 1) na kraju voda (kao prijemnik) – **reakcioni rezonator**
- 2) postavljen redno u vod između generatora i prijemnika – **transmisioni rezonator**
- 3) postavljen paralelno na vod između generatora i prijemnika – **apsorpcioni rezonator**

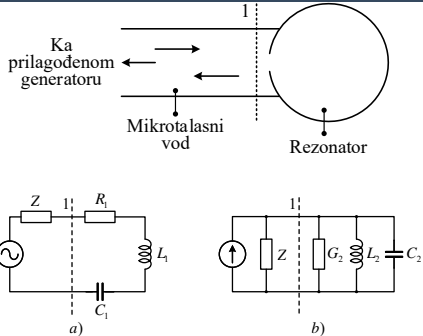


# Reakcioni rezonator

- Reakcioni rezonator kao element mikrotalasnog kola se nalazi na kraju voda.
- Na ekvivalentnim šemama sa slike a) i b) impedansa  $Z$  je unutrašnja otpornost prilagođenog generatora, pa je zbog toga jednaka karakterističnoj impedansi ekvivalentnog voda, odnosno talasnoj impedansi tipa talasa koji se prenosi mikrotalasnim vodom.
- Ovdje definišemo tzv. koeficijent sprege rezonatora sa vodom  $\beta$ , koji se u principu može mjeriti i njegovo poznavanje daje treću dopunsku jednačinu za jednoznačno određivanje parametara ekvivalentnih kola.

Po definiciji

$$\beta \stackrel{\text{def}}{=} \frac{Q_0}{Q_{sp}} = \frac{\frac{\omega_0 W}{P_0}}{\frac{\omega_0 W}{P_{sp}}} = \frac{P_{sp}}{P_0}$$



- $P_0$  - sopstveni gubici u rezonatoru a  $P_{sp}$  gubici u spoljašnjem kolu. Koeficijent sprege rezonatora za šemu sa slike a) je:  
$$\beta = \frac{P_{sp}}{P_0} = \frac{\frac{1}{2}ZI^2}{\frac{1}{2}R_1 I^2} = \frac{1}{R_1} = \frac{1}{Z}$$
 za sliku b)  
$$\beta = \frac{P_{sp}}{P_0} = \frac{\frac{1}{2}\frac{U^2}{Z}}{\frac{1}{2}U^2 G_2} = \frac{1}{G_2 Z} = \frac{1}{G_2} = \hat{R}_2$$
- pa je:  $Q = \frac{Q_0}{1+\beta} < Q_0$

# Transmisioni rezonator

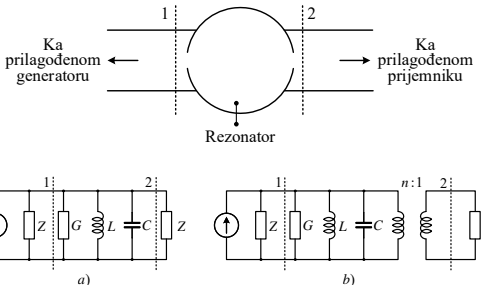
- Način vezivanja transmisionog rezonatora je prikazan na slici.
- Ovdje možemo definisati dva koeficijenta sprege i to koeficijent sprege rezonatora sa prilagođenim generatorom  $\beta_1$  i koeficijent sprege rezonatora sa prilagođenim prijemnikom  $\beta_2$

$$\beta_1 = \frac{Q_0}{Q_{sp1}} = \frac{P_{sp1}}{P_0} \quad \beta_2 = \frac{Q_0}{Q_{sp2}} = \frac{P_{sp2}}{P_0}$$

- Ako su gubici  $P_{sp1}$  i  $P_{sp2}$  (odnosno koeficijenti sprege) jednaki ekvivalentna šema izgleda kao na slici a).

$$\beta_1 = \beta_2 = \beta = \frac{P_{sp1}}{P_0} = \frac{P_{sp2}}{P_0} = \frac{\frac{1}{2} \frac{U^2}{Z}}{\frac{1}{2} U^2 G} = \frac{1}{G} = \hat{R}$$

- Obično je u praksi  $P_{sp1} \neq P_{sp2}$  odnosno  $\beta_1 \neq \beta_2$ , jer naponi u presjecima 1 i 2 na slici a) ne moraju biti jednak.
- Zbog toga dopunjavamo ekv. šemu slike b)



- Odnos napona na krajevima 1 i 1 je  $\frac{U_1}{U_2} = \frac{n}{1}$  odakle slijedi da je  $U_1 = nU_2$ . Koeficijenti sprege su jednak

$$\beta_1 = \frac{P_{sp1}}{P_0} = \frac{\frac{1}{2} \frac{U_1^2}{Z}}{\frac{1}{2} U_1^2 G} = \frac{1}{\hat{G}} = \hat{R}$$

$$\beta_2 = \frac{P_{sp2}}{P_0} = \frac{\frac{1}{2} \frac{U_2^2}{Z}}{\frac{1}{2} U_1^2 G} = \frac{1}{n^2 \hat{G}} = \frac{\hat{R}}{n^2} = \frac{\beta_1}{n^2}$$

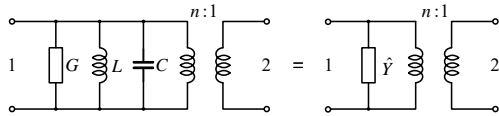
# Transmisioni rezonatori

- Iz zadnje relacije slijedi da je prenosni odnos jednak

$$n = \sqrt{\frac{\beta_1}{\beta_2}}$$

- Prenos snage od generatora ka prijemniku definisan je koeficijentom  $S_{21}$  četvorokrajnika između presjeka 1 i 2 što pokazuje slika desno.
- Pronađimo prvo izraz za  $\hat{Y}$  u okolini rezonantne učestanosti  $\omega_0$

$$Y = G + \frac{1}{j\omega L} + j\omega C = G + \frac{1 - \omega^2 LC}{j\omega L} = G + \frac{1 - \omega^2/\omega_0^2}{j\omega L} = G + \frac{\omega_0^2 - \omega^2}{j\omega\omega_0^2 L}$$



- Uzimajući u obzir da je  $\omega + \omega_0 \approx 2\omega$  dalje uprošćavamo relaciju.

$$\begin{aligned} Y &= G + j \frac{(\omega - \omega_0)(\omega + \omega_0)C}{\omega} \approx G + j2\Delta\omega C \\ &\approx G \left( 1 + j \frac{2\Delta\omega\omega_0 C}{\omega_0 G} \right) = G \left( 1 + j \frac{2Q_0\Delta\omega}{\omega_0} \right) \end{aligned}$$



# Transmisioni rezonatori

- Normalizovana admitansa jednaka je sada:

$$\hat{Y} \approx \hat{G} \left( 1 + j \frac{2Q_0\Delta\omega}{\omega_0} \right) = \frac{1}{\beta_1} \left( 1 + j \frac{2Q_0\Delta\omega}{\omega_0} \right)$$

- Sada, na osnovu prethodnih relacija nalazimo  $S_{21}$

- Dalje slijedi da je

$$Q = \frac{Q_0}{1 + \beta_1 + \beta_2}$$

- Zamjenom dobijamo

$$S_{21} = \frac{\frac{2\sqrt{\beta_1}}{\beta_2}}{\frac{\beta_1}{\beta_2} + 1 + \frac{\beta_1}{\beta_2} \frac{1}{\beta_1} \left( 1 + j \frac{2Q_0\Delta\omega}{\omega_0} \right)} = \frac{2\sqrt{\beta_1\beta_2}}{1 + \beta_1 + \beta_2 + j \frac{2Q_0\Delta\omega}{\omega_0}}$$

$$S_{21} = \frac{\frac{2\sqrt{\beta_1\beta_2}}{1 + \beta_1 + \beta_2}}{1 + j \frac{2Q\Delta\omega}{\omega_0}}$$

- Sada je

- Ovu relaciju možemo uprostiti uvođenjem faktora dobrote opterećenog rezonatora  $Q$

$$\frac{1}{Q} = \frac{1}{Q_0} + \frac{1}{Q_{sp1}} + \frac{1}{Q_{sp2}} = \frac{1}{Q_0} + \frac{\beta_1}{Q_0} + \frac{\beta_2}{Q_0}$$

$$\left. \frac{P_2^-}{P_1^+} \right|_{P_2^+=0} = |S_{21}|^2 = \frac{\frac{4\beta_1\beta_2}{(1+\beta_1+\beta_2)^2}}{1 + \left( \frac{2Q\Delta\omega}{\omega_0} \right)^2}$$



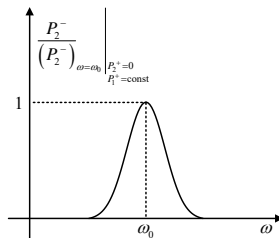
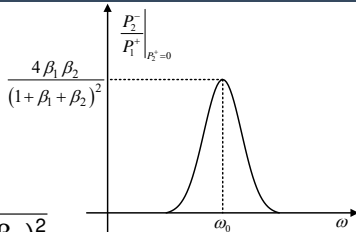
# Transmisioni rezonatori

- Ovaj odnos, a samim tim i prenešena snaga, je najveći na rezonansu, kada je  $\omega = \omega_0$ , tj.  $\Delta\omega = 0$

$$\max \left( \frac{P_2^-}{P_1^+} \Big|_{P_2^+=0} \right) = \left( \frac{P_2^-}{P_1^+} \Big|_{P_2^+=0} \right)_{\omega=\omega_0} = \frac{4\beta_1\beta_2}{(1+\beta_1+\beta_2)^2}$$

- Grafik prenešene snage (tačnije odnosa  $P_2^- / P_1^+$  pri  $P_2^+ = 0$ ) dat je na slici gore.
- Obično crtamo odnos prenešene snage i prenešene snage pri rezonansi. Taj odnos se dobija kada je snaga od generatora  $P_1^+$  konstantna.

$$\left. \frac{P_2^-}{(P_2^-)_{\omega=\omega_0}} \right|_{\substack{P_2^+=0 \\ P_1^+=\text{const}}} = \frac{1}{1 + \left( \frac{2Q\Delta\omega}{\omega_0} \right)^2}$$



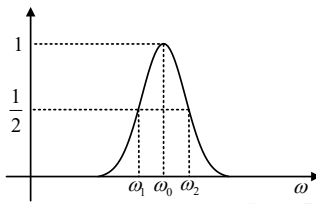
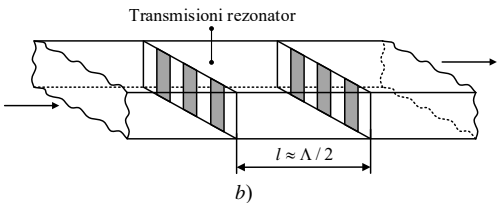
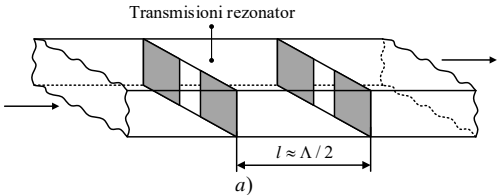
- Sa slijak zaključujemo da se transmisioni rezonator ponaša kao filter propusnik opseg odnosno propušta rezonantnu i njih bliske učestanosti.

# Transmisioni rezonatori

- Dvije najjednostavnije verzije talasovodnog filtra propusnika opsega su pokazane na slici a) i b). Rezonator je u prvom slučaju obrazovan u pravougaonom talasovodu između dvije induktivne dijafragme, a u drugom, između dvije induktivne rešetke.
- Dužine rezonatora nijesu jednake polovini talasne dužine.
- Na osnovu zadnje relacije dobijamo granice propusnog opsega:

$$\omega_1 = \omega_0 \left( 1 - \frac{1}{2Q} \right) \quad \omega_2 = \omega_0 \left( 1 + \frac{1}{2Q} \right)$$

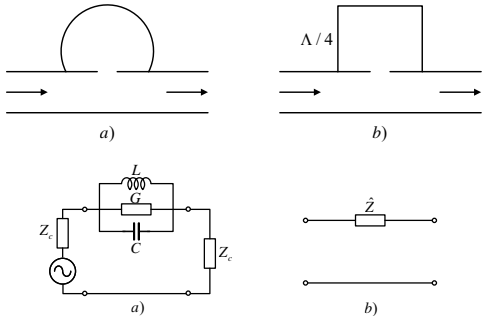
- Širina propusnog opsega je:  $\nu = \frac{\omega_2 - \omega_1}{\omega_0} = \frac{1}{Q}$



# Apsorpcioni rezonator

- To je rezonator vezan paralelno na vod između generatora i prijemnika (slika a)).
- U praksi, rezonator se obično realizuje u vidu kratkospojenog voda dužine  $\Lambda/4$ , spregnutim sa osnovnim vodom (slika b)).
- Taj vod u okolini učestanosti za koju je njegova dužina jednaka  $\Lambda/4$  predstavlja paralelno oscilatorno kolo vezano redno na osnovni vod, pa je ekvivalentna šema kao na slici a).
- Prenosna svojstva su definisana elementom  $S_{21}$  četvorokrajnika na slici ??b) gde je  $\hat{Z}$  paralelna veza  $G$ ,  $L$  i  $C$  pri  $\omega \approx \omega_0$ .

$$\hat{Z} = \frac{1}{\hat{Y}} = \frac{1}{\hat{G} \left( 1 + j \frac{2Q_0 \Delta \omega}{\omega_0} \right)}$$



- Za četvorokrajnik sa slike b)  
$$S_{21} = \frac{2}{2 + \hat{Z}} = \frac{1 + j \frac{2Q_0 \Delta \omega}{\omega_0}}{\frac{1+2\hat{G}}{2\hat{G}} + j \frac{2Q_0 \Delta \omega}{\omega_0}}$$
- Dok je prenešena snaga:  
$$\left. \frac{P_2^-}{P_1^+} \right|_{P_2^+=0} = |S_{21}|^2 = \frac{1 + \left( \frac{2Q_0 \Delta \omega}{\omega_0} \right)^2}{\left( \frac{1+2\hat{G}}{2\hat{G}} \right)^2 + \left( \frac{2Q_0 \Delta \omega}{\omega_0} \right)^2}$$

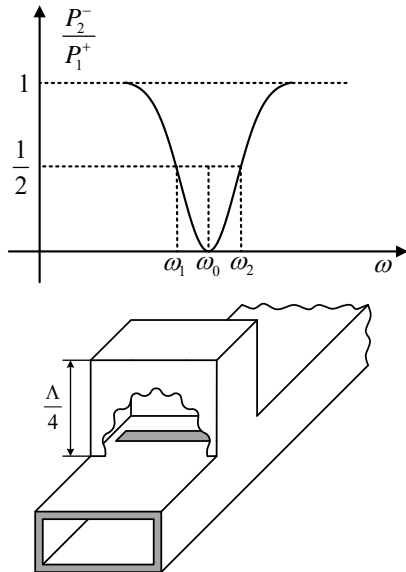
## Apsorpcioni rezonatori...

- Pri rezonansi, kada je  $\omega = \omega_0$  relacija (40) postaje

$$\left( \frac{P_2^-}{P_1^+} \right)_{\omega=\omega_0} = \frac{(2\hat{G})^2}{(1+2\hat{G})^2} \approx 0$$

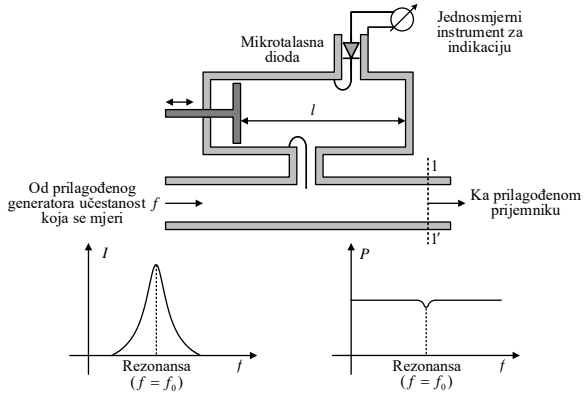
jer je  $\hat{G} \approx 0$ , zbog malih gubitaka u rezonatoru.

- Udaljavanjem od rezonanse, u brojiocu i imeniocu preovladava član  $(2Q_0\Delta\omega)/\omega_0$  pa  $(P_2^-/P_1^+) \rightarrow 1$ .
- Grafik  $(P_2^-/P_1^+)$  pri prilagođenom izlazu prikazan je na slici.
- Vidimo da se apsorpcioni rezonator ponaša kao filter nepropusnik opsega učestanosti (FNO) – ne propušta rezonantnu učestanost i uzan opseg oko te učestanosti  $[\omega_1, \omega_2]$ .
- Talasovodna varijanta FNO.



# Mjerenje učestanosti pomoću rezonatora

- Pri mjerenu učestanosti koristi se rezonator vezan po transmisionoj ili apsorbpcionoj šemi. Razmotrićemo transmisionu šemu.
- Kružni rezonator sa tipom oscilacija  $TE_{011}$  je postavljen između generatora (kao pobude) i instrumenta za indikaciju (kao odziva) – odatle naziv transmisiona šema.
- Pomjeranjem klipa mijenja se dužina rezonatora  $l$  a samim tim i rezonantna učestanost.
- Dokle god je klip u položaju kada se rezonantna učestanost znatno razlikuje od mjerene učestanosti, rezonator se ne pobuđuje i instrumenat pokazuje nulu.
- Kada se pomjeranjem klipa rezonantna učestanost približi mjerenoj, rezonator počinje da se pobuđuje i instrumenat počinje da reaguje.



- Pokazivanje instrumenata je maksimalno pri rezonansi (slika a)). Tada je mjerena učestanost jednaka rezonantnoj
- Međutim, u praksi, rezonator se prethodno baždari pa se mjerena učestanost direktno očitava na skali u obliku brojčanika vezanog sa klipom.

# Talasovodna sekcija sa rezonatorom za mjerjenje učestanosti

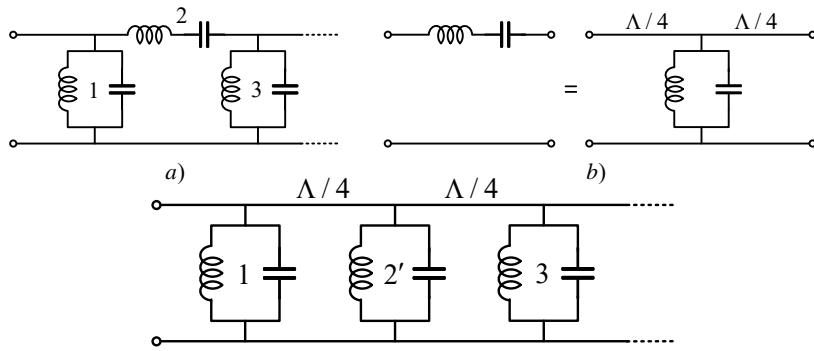
- Izgled rezonatora za mjerjenje učestanosti pri transmisionoj šemi je prikazan na slici.
- Apsorpciona šema se razlikuje po tome što se indikacija rezonanse vrši na osnovu minimalnog pokazivanja instrumenta (koje je praktično jednako nuli).
- Indikacija rezonanse moguća je i ako se prati pokazivanje instrumenta za mjerjenje snage koja se prenosi prilagođenom prijemniku
- Kada se pomjeranjem klipa približimo uslovu rezonanse ( $f \approx f_0$ ) rezonator počinje da se pobuduje, odnosno počinje da uzima malu snagu iz talasovoda što se manifestuje malim padom kazaljke na instrumentu za mjerjenje snage (slika b)).
- Mikrotalasna klupa.



- U mikrotalasnoj tehnici uglavnom se koriste:
  - ① Filtri propusnici opsega (FPO).
  - ② Filtri nepropusnici opsega (FNO).
- Oni se projektuju tako što se prvo na osnovu postavljenih zahtjeva, koji se odnose na širinu propusnog (nepropusnog) opsega, maksimalno (minimalno) slabljenje u propusnom (nepropusnom) opsegu, oblik karakteristike u propusnom (nepropusnom) opsegu (Batervortova, Čebiševljeva, ...), proračunava filter sa oscilatornim kolima sa koncentrisanim parametrima koji se naziva **filter prototip**.
- U poslednjoj fazi projektovanja ova oscilatorna kola se zamjenjuju oscilatornim kolima sa raspodijeljenim parametrima.
- Bez uloženja u detalje, razmotrićemo neke nejčešće zastupljene mikrotalasne filtre propusnike i nepropusnike opsega.

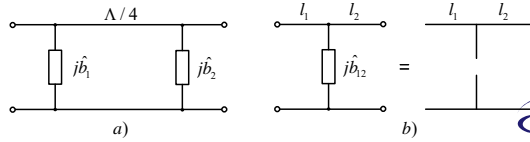
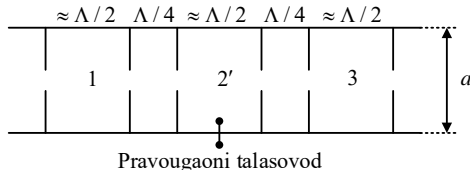
# Filtri propusnici opsega (FPO)

- Šema filtra prototipa je prikazana na slici a), gdje se parametri nalaze shodno dobro razrađenim metodama sinteze električnih kola.
- Paralelna oscilatorna kola se lako realizuju u vidu transmisionih rezonatora.
- Redna oscilatorna kola se mogu transformisati u paralelna, kao što je to prikazano na slici b).
- Ekvivalentacija četvorokrajnika na slici b) se može ustanoviti nalaženjem njihovih matrica rasijanja – one treba da su identične sa tačnošću do argumenata njihovih elemenata. Tako dolazimo do ekvivalentne šeme filtra prototipa na slici ispod.



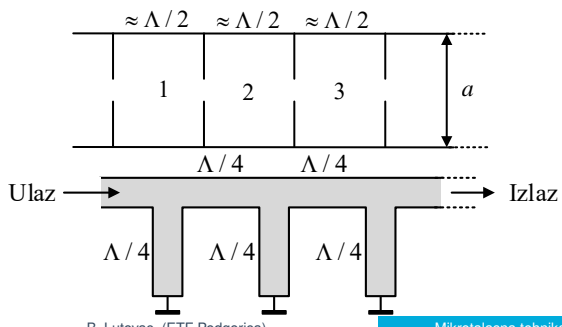
## Filtri propusnici opsega (FPO)...

- Ova se šema sada može lako realizovati preko transmisionih rezonatora obrazovanih, u talasovodnoj varijanti, pomoću, npr. induktivnih dijafragmi.
- U ovoj konstrukciji, potrebno je proračunati dužine rezonatora (one su približno jednake  $\Lambda/2$ ).
- Zbog četvrt-talasnih odsječaka između rezonatora ovakav tip filtra propusnika opsega (FPO) naziva se filter sa četvrt-talasnim spregama.
- Nepovoljna strana ovog filtra je njegova relativno velika dužina. Ako je broj rezonatora jednak  $n$ , onda je dužina filtra približno jednaka  $n\Lambda/2 + (n - 1)\Lambda/4$ .
- Dužina filtra može se smanjiti na račun eliminacije četvrt-talasnih odsječaka. Kako se to postiže? Posmatrajmo četvrt-talasnii odsječak između dva rezonatora. Njegova ekvivalentna šema je prikazana na slici a). Ovaj četvorokrajnik se može zamijeniti četvorokrajnikom na slici b) koji sadrži jedan diskontinuitet i dva kratka odsječka dužina  $l_1$  i  $l_2$ . Ovom četvorokrajniku odgovara jedna nova dijafragma sa dva kratka odsječka (slika b)).



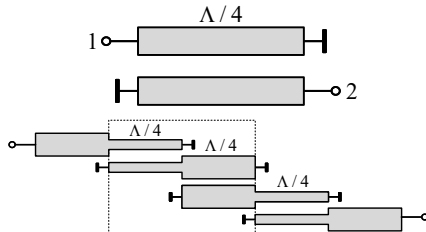
## Filtri propusnici opsega (FPO)...

- Tako dolazimo do konstrukcije filtra propusnika opsega (FPO) koji je prikazan na slici.
- On ne sadrži četvrt-talasne odsječke i naziva se filter sa neposrednim spregama.
- Njegova dužina je približno jednaka  $n(\Lambda/2)$ . Fotografija tog filtra na bazi pravougaonog talasovoda pokazana je na slici.
- Talasovodni filtri imaju prilično glomaznu konstrukciju.
- Mnogo jednostavniju konstrukciju imaju trakasti filtri, koji se realizuju na bazi mikrotrakastog ili trakastog voda u štampanoj tehnici.
- Topologija tog filtra kojom se realizuje ekvivalentna šema prikazana je na slici ispod.



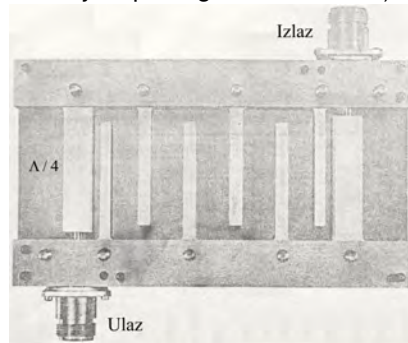
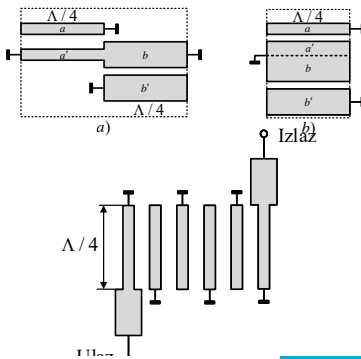
## Filtri propusnici opsega (FPO)...

- Paralelna oscilatorna kola vezana paralelno na vod, realizovana su u vidu paralelnih kratkospojenih odsječaka dužine  $\Lambda/4$
- Ovo je filter sa četvrt-talasnim spregama.
- I u ovom slučaju se mogu izbjegići četvrt-talasni odsječci između rezonatora, tako što se rezonatori postave bočno jedan uz drugi (slika dolje) a onda kaskadno vežu sa ostalim parovima rezonatora.
- Tako dobijemo filter sa neposrednim spregama (slika desno ispod).
- S obzirom na to da je kod TEM vodova praktično kratak spoj isto što i otvoren kraj (u oba slučaja je  $|\rho| = 1$ ) mogu se kratki spojevi na slici ukloniti.
- Tada dobijamo filter propusnik opsega čija je konstrukcija na bazi mikrotrakastog voda prikazana na fotografiji desno.



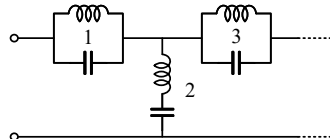
## Filtri propusnici opsega (FPO)...

- Konstrukcija filtra sa predhodne slike može se napraviti kompaktnijom na sledeći način.
- Posmatrajmo dio filtra sa slike gore označen tačkastim linijama.
- Srednji rezonator (dužine  $\Lambda/2$ ) ima čvor struje na sredini (struja je jednaka nuli).
- Taj rezonator se može presjeći na polovini i dobijene polovine možemo spojiti (bočno).
- Tako dobijamo modifikovanu konstrukciju na b), a sam filter sa slike dobija češljastu strukturu kao na slici ispod.
- Fotografija tog filtra je prikazana na slici desno i urađena je na bazi trakastog voda (radi preglednosti uklonjen je gornji poklopac koji zajedno sa donjom podlogom čini „masu“).

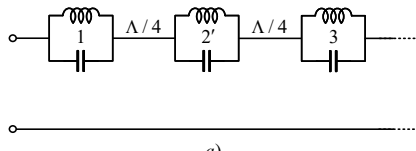


# Filtri nepropusnici opsega (FNO)

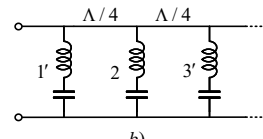
- Šema filtra prototipa je prikazana na slici.



- Ova šema se može zamijeniti sa dvije ekvivalentne šeme prikazane na slikama a) i b).

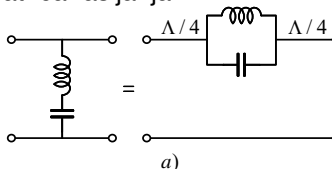


a)

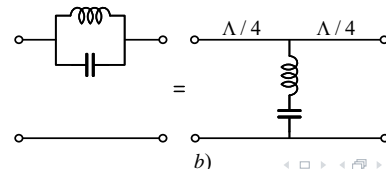


b)

- Ekvivalencije koje se pri tom koriste prikazane su na slikama a) i b) ispod a njihova provjera se vrši preko matrica rasijanja.



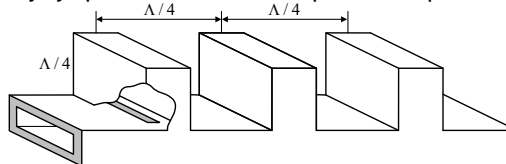
a)



b)

## Filtri nepropusnici opsega (FNO)...

- Filtar prototip (srednja slika predhodni slajd) je pogodan za talasovodnu realizaciju kada se paralelna oscilatorna kola zamjenjuju apsorpcionim rezonatorima.
- Odgovarajuća konstrukcija je pokazana na slici ispod i ona predstavlja filter sa četvrt-talasnim spregama.



- Prototip sa zadnje slike b) (predhodni slajd) pogodan je za trakaste varijante filtara.
- Dvije od njih su prikazane na slici ispod
- Na slici a) redna oscilatorna kola vezana paralelno na vod, izvedena su kao četvrt-talasni otvoreni odsječci vezani paralelno na osnovni vod. Na slici b), redna oscilatorna kola su realizovana kao dva redno vezana kratka odsječka od kojih je jedan veoma uzak a drugi veoma širok. Oba filtra su takođe, filtri sa četvrt-talasnim spregama.

